



FACULTAD DE INGENIERÍA

TEORÍA DE ALGORITMOS
(75.29) CURSO BUCHWALD - GENENDER

Trabajo Práctico 3

Problemas NP-Completos

24 de noviembre de 2023

Juan Díaz
103488

Juan Muñoz
106699

Juan Díaz
108183

1. Introducción

En el presente trabajo práctico se demuestra que el *Hitting-Set Problem* como problema de decisión es NP-Completo, se desarrolla una solución con un algoritmo de *Backtracking* para el mismo, como problema de optimización, y se analizan posibles soluciones aproximadas.

2. Consideraciones

En la versión de decisión del *Hitting-Set Problem*, una solución C al problema es un subconjunto $C \subseteq A$, con $|C| \leq k$ y $C \cap B_i \neq \emptyset$ para todo $B_i \in B$.

3. Demostraciones

Un problema de decisión P es NP-Completo si P pertenece a NP y P es NP-Difícil.

3.1. *Hitting-Set Problem* está en NP

Un problema pertenece a NP si una solución al mismo puede ser verificada en tiempo polinomial por una máquina de Turing determinística, o alternatively, el problema puede ser resuelto en tiempo polinomial por una máquina de Turing no determinística.

El siguiente algoritmo es un posible verificador de soluciones del *Hitting-Set Problem*:

```
1 def is_hitting_set(A, B, C, k):
2     if len(C) > k:
3         return False
4     for Bi in B:
5         for b in Bi:
6             if b in C:
7                 break
8         else:
9             return False
10    return True
```

El algoritmo es de tiempo polinomial porque $|B| = m$, $|B_i| \leq |A|$ para todo $B_i \in B$, $B \subseteq A$ y $C \subseteq A$, por lo que la complejidad es $\mathcal{O}(N^2m)$ con $N = |A|$.

3.2. *Hitting-Set Problem* es NP-Difícil

Para demostrar que el problema es NP-Difícil realizamos una reducción polinomial de un problema NP-Completo a nuestro problema, [Vertex Cover](#).

Un *Vertex Cover* V' de un grafo no dirigido $G = (V, E)$, es un conjunto de vertices $V' \subseteq V$, tal que para toda arista $(u, v) \in E$, $u \in V' \vee v \in V'$, o lo que es lo mismo, todas las aristas del grafo G tienen por lo menos una esquina en V' . La versión de decisión del problema se trata de determinar si existe un *Vertex Cover* de a lo sumo k vértices.

Para reducir este problema al *Hitting-Set Problem* creamos un subset $B_i = \{u, v\}$ por cada arista $(u, v) \in E$, $A = V$ y $k = k$. Luego tomamos la solución del *Hitting-Set Problem* C y con ella generamos la solución del *Vertex Cover* $V' = C$:

```
1 def vertex_cover(G, k):
2     A = G.V
3     B = [{u, v} for (u, v) in G.E]
4     V = hitting_set(A, B, k)
5     return V
```

Esta reducción se puede realizar en $\mathcal{O}(V^2)$, que es el costo de crear un subset por cada arista en el grafo G .

4. Programación Lineal

4.1. Definiciones

4.1.1. Variables

$Y_i :=$ Variables binarias, indican si el elemento A_{Y_i} forma parte de la solución.
(una por cada elemento en A)

4.2. Modelo

4.2.1. Restricciones

Necesitamos que haya por lo menos un elemento en cada subset, esto los modelamos con una restricción por cada subset que toma la suma de las variables asociadas a sus elementos y fuerza a esta a valer por lo menos uno:

$$\sum_{Y \in B_i} Y \geq 1 \quad \forall \quad B_i \in B \quad (1)$$

4.2.2. Funcional

Estamos tratando de minimizar la cantidad de elementos en el resultado, por lo que minimizamos el valor de la suma de las variables asociadas a los elementos en el conjunto A .

$$\min \left\{ \sum_{Y \in A} Y \right\} \quad (2)$$

4.3. Relajación

Si dejamos que las variables Y_i tomen valores reales el nuevo problema puede ser resuelto en tiempo polinomial. Con esta solución podemos calcular una cota inferior para el k óptimo:

$$k \geq \lceil k_r \rceil \quad \text{con } k_r := \text{óptimo del problema relajado} \quad (3)$$

Esto es porque al relajar las restricciones, la solución solo puede mejorar. Además, si tomamos las variables cuyo valor excede $\frac{1}{b}$ obtenemos una solución aproximada.

4.3.1. Complejidad

La complejidad del algoritmo con restricciones relajadas depende del algoritmo utilizado por la librería PuLP. Si se utilizara el método simplex, si bien es eficiente en la práctica tiene peor caso exponencial. Existen otros algoritmos para resolver problemas de programación lineal que funcionan en tiempo polinomial, como el algoritmo de Karmarkar.

4.3.2. Calidad

Aprovechando la ecuación (3), obtenemos una cota inferior para $z(I)$:

$$\begin{aligned} k_r &\leq z(I) \\ k_r b &\leq z(I) b \end{aligned}$$

También sabemos que nuestra aproximación $A(I)$, define que las variables con valor mayor o igual a $\frac{1}{b}$ serán 1. En el peor caso, todas las variables valen $\frac{1}{b}$ y pasan a valer 1, lo que nos deja con una función objetivo a lo sumo b veces peor:

$$A(I) \leq k_r b \implies A(I) \leq z(I)b$$

Si definimos $r(A)$ tal que $\frac{A(I)}{z(I)} \leq r(A)$ obtenemos $r(A) = b$.

5. Aproximación

Para encontrar una solución aproximada al *Hitting-Set Problem*, proponemos el siguiente algoritmo *Greedy*:

```
1 def hitting_set(A, subsets):
2     frequencies = [0] * len(A)
3     for subset in subsets:
4         for item in subset:
5             frequencies[item] += 1
6
7     solution = []
8     missing = list(subsets)
9     while missing:
10         item, _ = max(enumerate(frequencies), key=lambda t: t[1])
11
12         subset_idx = 0
13         while subset_idx < len(missing):
14             if item in missing[subset_idx]:
15                 for other in missing[subset_idx]:
16                     frequencies[other] -= 1
17                 missing.pop(subset_idx)
18             else:
19                 subset_idx += 1
20
21         solution.append(item)
22
23     return solution
```

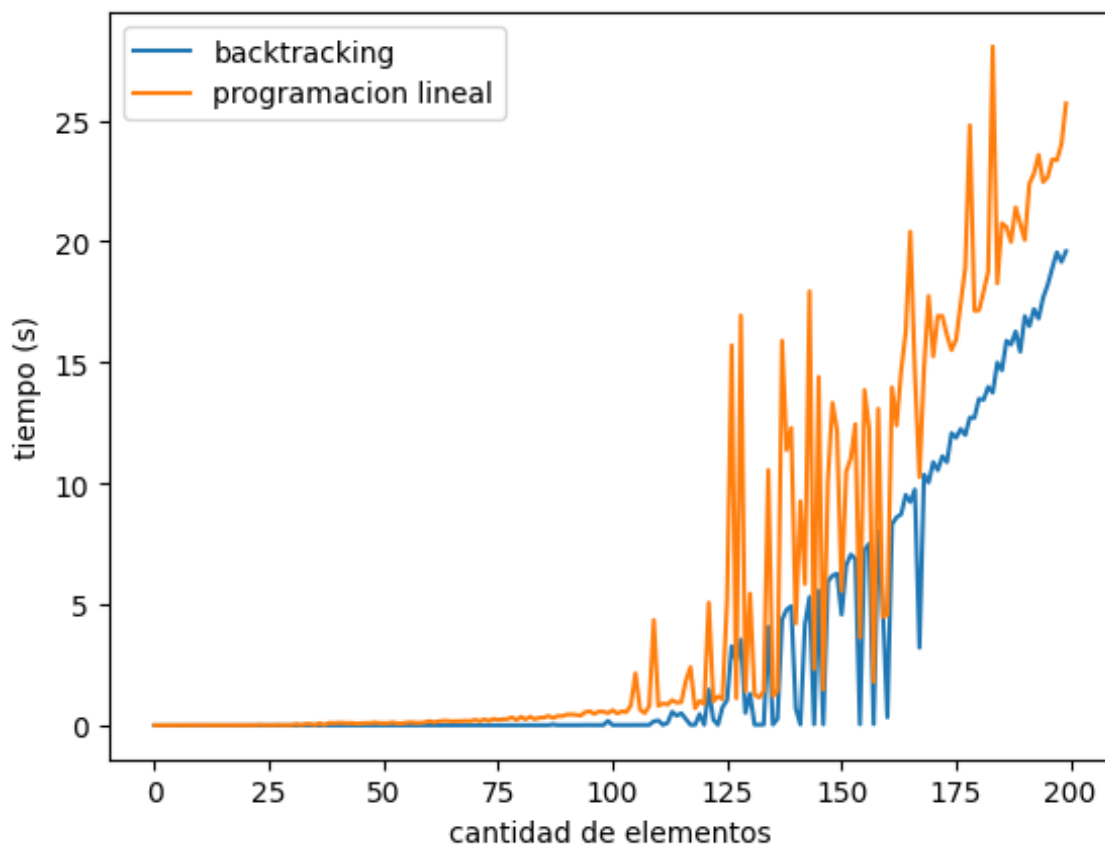
En este algoritmo se itera por todos los elementos de los subsets para calcular las frecuencias, si los subsets tienen a lo sumo N elementos cada uno, esto tiene complejidad $\mathcal{O}(Nm)$, siendo m la cantidad de subsets. Luego se itera quitando por lo menos un subset de la lista de subsets cada vez, es decir $\mathcal{O}(m)$ iteraciones, y en ese *loop* se itera por todos los subsets buscando aquellos que contengan al de mayor frecuencia realizando operaciones de costo lineal en la cantidad de elementos del subset, como lo son buscar un elemento, iterar por el mismo y remover un elemento en cualquier posición, lo que nos deja con una complejidad de $\mathcal{O}(m^2N)$.

6. Mediciones

Se realizaron mediciones en base a crear sets de distinta cantidad de elementos, con la cantidad de subsets y la cantidad de elementos por subset siendo proporcional a la cantidad de elementos.

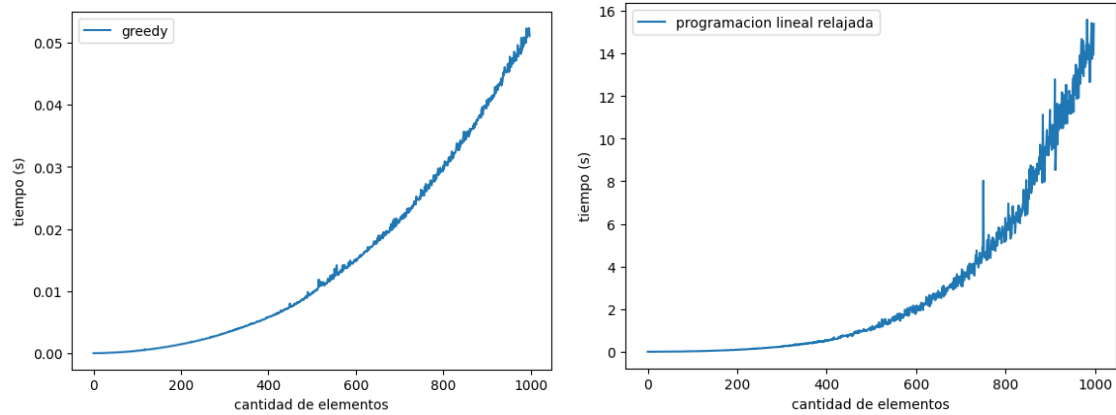
Para asegurar la validez de las comparaciones todas las mediciones fueron realizadas sobre los mismos sets de datos para los métodos que están siendo comparados. Los elementos fueron generados por los valores pseudoaleatorios del lenguaje (el módulo `random`) con la misma *seed*.

6.1. Backtracking vs. Programación Lineal



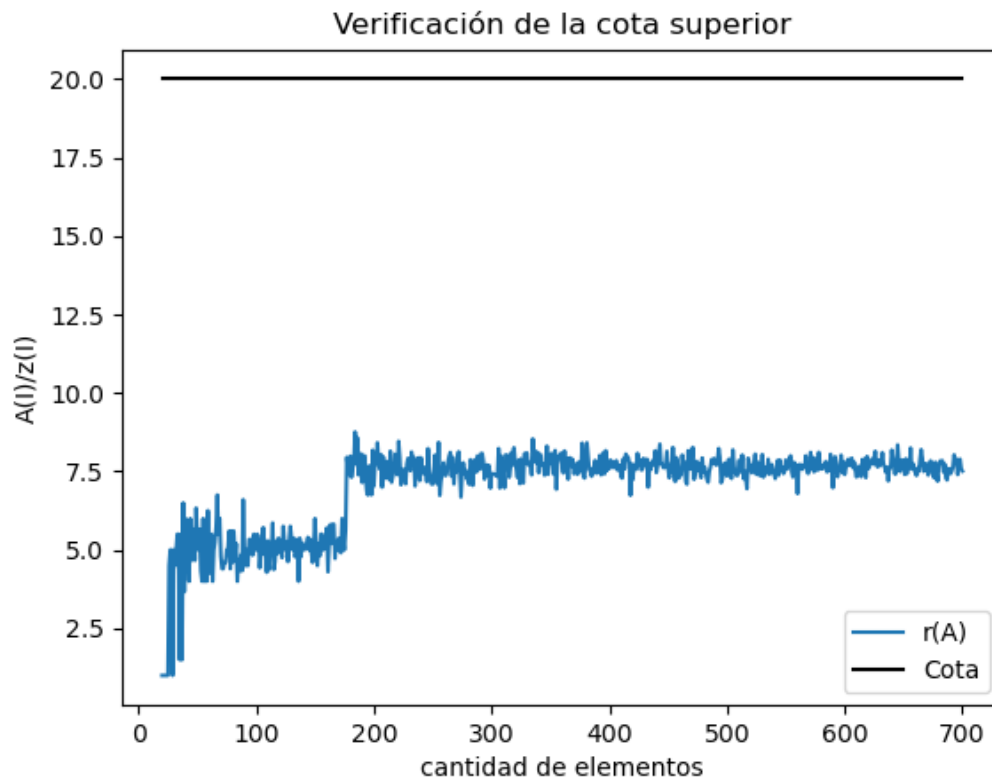
Backtracking obtiene mejores tiempo de ejecución que programación lineal para encontrar la solución óptima.

6.2. Algoritmos de aproximación



Notar la diferencia de tiempos (eje y) entre greedy y programación lineal.

6.3. Cota de la relajación lineal



Vemos que $\frac{A(I)}{z(I)}$ se mantiene por debajo de la cota calculada. Cabe aclarar que a partir de los 175 elementos se utilizó una cota inferior para $z(I)$, por lo que se ve un pico en el gráfico a partir de ahí, esta cota inferior fue calculada por el mismo algoritmo de programación lineal relajada porque los volúmenes de datos eran inmanejables para el algoritmo exacto.

7. Conclusiones

Algunas cosas que caben destacar son los distintos usos que dimos o podríamos dar a los algoritmos de aproximación para disminuir el costo de encontrar la solución óptima, como la utilización de la solución obtenida por el algoritmo *Greedy* como cota superior en la búsqueda por *Backtracking*, y el valor del funcional al relajar las restricciones del modelo lineal puede ahorrarnos una iteración si se utilizara como cota inferior de k (aunque esto solo funcionaría si la solución es exactamente $\lceil k_r \rceil$). El primero de estos mejoró el tiempo de ejecución de la búsqueda en un 10 %.